

ВИБРАЦИОННЫЕ РАСЧЕТЫ ЛОПАТОК ТУРБОМАШИН И ВОЗДУШНЫХ ВИНТОВ

Для решения данной проблемы используются вариационные методы.

Рабочая лопатка или воздушный винт рассматриваются как закрученный стержень несимметричного переменного поперечного сечения длиной l , закрепленный на диске радиуса R , вращающийся с угловой скоростью Ω (рис. 1). Стержень рассматривается в прямоугольной правой системе координат xuz с началом в центре масс корневого сечения. Ось x параллельна оси вращения, ось z направлена по радиусу от оси вращения. Оси $\xi \eta$ являются главными центральными осями в любом поперечном сечении стержня. Оси $x_1 y_1$ и $\xi_1 \eta_1$ параллельны осям xu и $\xi\eta$ соответственно, начало их расположено в центре изгиба поперечного сечения.

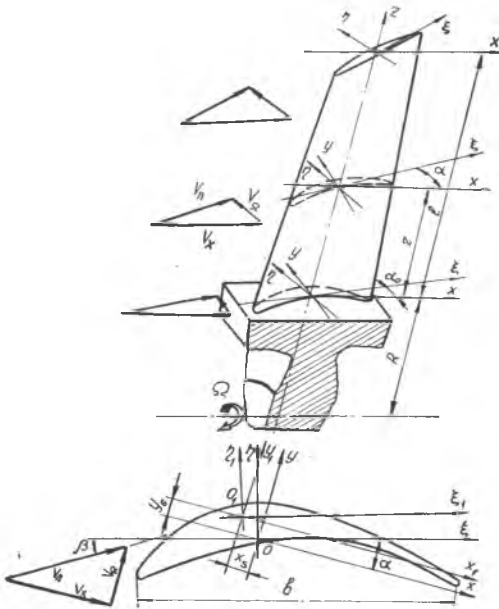


Рис. 1

α — угол закрутки сечения, $x_s y_s$ — проекции расстояния между центром масс и центром изгиба поперечного сечения. Штрихи будут означать производные по координате z , а точки над функциями — по времени t .

Перемещения элементарного объема стержня в направлениях x , y и z могут быть представлены на основании работ [1, 5] в виде:

$$U = u_1 + u_2 - \theta y_1;$$

$$V = v_1 + v_2 + \theta x_1;$$

$$W = w - \gamma_{1\eta} \xi - \gamma_{1z} \eta + \gamma_{2\eta} z + \gamma_{2z} \Psi + \theta' \varphi,$$

где $u_1(z, t)$, $v_1(z, t)$ — перемещения при изгибе;

$u_2(z, t)$, $v_2(z, t)$ — перемещения при сдвиге в направлениях x и y ;

$w(z, t)$ — продольное перемещение в направлении z ;

$\Theta(z, t)$ — угловое перемещение относительно центра изгиба сечения;

$\varphi(\xi, \eta, z)$ — функция кручения;

$X(\xi, \eta, z)$ и $\Psi(\xi, \eta, z)$ — функции деформации при сдвиге в направлениях ξ и η ;

γ_{1z} , $\gamma_{1\eta}$ — углы поворота сечений относительно осей ξ и η при изгибе;

γ_{2z} , $\gamma_{2\eta}$ — относительные сдвиги в системе $\xi\eta z$.

Деформации стержня могут принять следующий вид [1]:

$$\varepsilon_z = w' - \alpha_{1\eta} \xi - \alpha_{1z} \eta + \alpha_{2\eta} z + \alpha_{2z} \Psi + \theta' \tau_0 r_1^2 + \theta'' \varphi;$$

$$\gamma_{z\xi} = \theta' \left(\frac{\partial \varphi}{\partial \xi} - \eta_{11} \right) + \gamma_{2\eta} \left(1 + \frac{\partial \chi}{\partial \xi} \right) + \gamma_{2z} \frac{\partial \Psi}{\partial \xi};$$

$$\gamma_{\eta z} = \theta' \left(\frac{\partial \varphi}{\partial \eta} + \xi_1 \right) + \gamma_{2\eta} \frac{\partial \chi}{\partial \eta} + \gamma_{2z} \left(1 + \frac{\partial \Psi}{\partial \eta} \right);$$

$$\varepsilon_z = \varepsilon_\eta = \gamma_{z\eta} = 0, \quad (1)$$

где $\tau_0 = \alpha'$ — закрутка стержня; $r_1^2 = \xi_1^2 + \eta_1^2$;

α_{1z} , $\alpha_{1\eta}$ — компоненты кривизны стержня в результате изгиба, а α_{2z} , $\alpha_{2\eta}$ — в результате сдвига.

Напряжения с учетом демпфирования в материале согласно гипотезе Фохта записываются следующим образом:

$$\sigma_z = E(\varepsilon_z + k_E \varepsilon_z); \quad \tau_{z\xi} = G(\gamma_{z\xi} + k_G \gamma_{z\xi});$$

$$\tau_{rz} = G (\gamma_{rz} + k_G \dot{\gamma}_{rz}); \quad \sigma_z = \sigma_r = \tau_{zr} = 0,$$

где E , G — модули упругости при растяжении и сдвиге;
 k_E , k_G — приведенные коэффициенты вязкости материала при растяжении и сдвиге.

Вариация работы внутренних сил при деформации стержня представляет собой выражение

$$\delta L = \int_0^l \iint_F [\sigma_z \delta \varepsilon_z + \tau_{rz} \delta \gamma_{rz} + \tau_{rz} \delta \dot{\gamma}_{rz}] dF dz,$$

где F — площадь поперечного сечения.

Кинетическая энергия вращающегося стержня представляет собой сумму кинетической энергии колебаний и работ центробежных и кориолисовых сил стержня на соответствующих перемещениях:

$$\begin{aligned} T = & \frac{1}{2} \int_0^l \iint_F \rho [\dot{U}^2 + \dot{V}^2 + (\dot{W} - \dot{\zeta})^2] dF dz + \\ & + \frac{\Omega^2}{2} \int_0^l \iint_F \rho [(R+z+W-\zeta)^2 + (V+y)^2] dF dz + \\ & + \Omega \int_0^l \iint_F \rho [(V+y)(\dot{W} - \dot{\zeta}) - (R+z+W-\zeta) \dot{V}] dF dz, \end{aligned}$$

где ρ — плотность стержня,

ζ — изменение проекции продольного волокна стержня на ось z при его деформации.

Если лопатки соединены между собой паяными упругими связями, то работа связей при деформации лопатки имеет вид

$$L_C = \frac{1}{2} \sum_j \left[K_{xj} \left(v_1 - \frac{v_1 + v_2}{R+z} \right)_j^2 + K_{yj} (u_1)_j^2 + K_{\theta j} \theta_j^2 \right],$$

где K_{xj} , K_{yj} , $K_{\theta j}$ — коэффициенты жесткости связей [5];
 j — номер связи.

Работу замкнутых на круг демпферных связей, свободно пропущенных сквозь отверстия в лопатках, следует определить по формуле

$$L_{C1} = \left(1 - \cos \frac{2\pi k}{m} \right) \sum_j \frac{EF_j^C}{n_j} (v_1 + v_2)^2,$$

где m — число лопаток на диске;

k — число узловых диаметров при колебаниях облопачивания;

h_j — шаг лопаток на уровне связи;

F_j^c — площадь поперечного сечения связи.

Если Q_n — обобщенные внешние силы, а q_n — соответствующие им перемещения, то вариация работы этих сил выразится:

$$\delta L_B = \int_S \sum_n Q_n \delta q_n dS,$$

где S — область приложения внешней нагрузки.

Для улучшения сходимости метода и облегчения расчетов удобно выбрать в качестве аппроксимируемых величин сил и моментов [2]

$$M_\xi = EI_\xi \kappa_{1\xi}; \quad P_\xi = EF k_\xi \gamma_{2\xi}; \quad P_z = EF \omega';$$

$$M_\eta = EI_\eta \kappa_{1\eta}; \quad P_\eta = EF k_\eta \gamma_{2\eta}; \quad M_\theta = GI_d \theta',$$

где I_ξ , I_η — главные центральные моменты инерции поперечного сечения;

k_ξ , k_η — коэффициенты формы сечения при сдвиге в направлениях ξ и η ;

GI_d — жесткость стержня на кручение.

Аппроксимируемые величины представляются в виде рядов типа $\sum_k \Phi_k(z) f_k(t)$, где $f_k(t)$ — варьируемые функции, а $\Phi_k(z)$ — базисные функции. Перемещения и их производные определяются интегрированием. Например:

$$u_1' = [e_\eta M_\eta \cos \alpha - e_\xi M_\xi \sin \alpha]_{z=0} + \int_0^z \left(\frac{M_\eta}{EI_\eta} \cos \alpha - \frac{M_\xi}{EI_\xi} \sin \alpha \right) dz;$$

$$u_1 = \int_0^z u_1' dz,$$

где e_η , e_ξ — коэффициенты податливости заделки лопатки [5].

Базисные функции удовлетворяют силовым граничным условиям, а при определении перемещений и их производных удовлетворяются и геометрические граничные условия. Таким образом, удастся удовлетворить все граничные условия, что улучшает сходимость метода.

Учитывается также работа упругих сил податливого основания:

$$L_0 = \frac{1}{2} [e_\xi M_\xi^2 + e_\eta M_\eta^2 + e_\theta M_\theta^2 + e_z P_z^2 + c_\xi P_\xi^2 + c_\eta P_\eta^2],$$

где e_θ , e_z , c_ξ , c_η — коэффициенты податливости заделки, аналогичные величинам e_ξ , e_η .

Вариационное уравнение задачи приводит к системе диффе-

ренциальных уравнений для определения варьируемых функций $f_u = t$. Если рассматриваются свободные колебания без учета кориолисовых сил, то задача сводится к проблеме вещественных чисел и векторов вещественной матрицы [2]. После этого определяются частоты и формы собственных изгибно-крутильно-продольных колебаний лопатки и распределения относительных моментов, усилий и напряжений.

Метод реализован для ЭЦВМ М-222 и БЭСМ-4М. Предусмотрены возможность использования различных видов базисных функций и решение как общей задачи, так и ее частных случаев.

В качестве примера приводятся некоторые результаты расчетов для лопатки (рис. 1) газовой турбины длиной 11 см, закрученной на $0,605 \text{ рад}$, с отношением длины l к хорде с концевой сечению b , равным 2,32.

Первые пять расчетных частот имеют значения (в герцах): 915,7; 1970; 3117; 4136; 5532. Соответствующие экспериментальные значения колеблются в пределах: $902 \div 946$; $1942 \div 2046$; $3100 \div 3300$; $4000 \div 4200$; $5600 \div 6100$. Формы изгибно-крутильно-продольных колебаний для первых пяти токов представлены на рис. 2 ($u = u_1 + u_2$, $v = v_1 + v_2$, ω в см, Θ в радианах). На рис. 3 приведено распределение относительных нормальных напряжений на входных и выходных кромках и спинке лопатки. Для сравнения тонкими линиями показано распределение напряжений, полученное при расчетах парциальных изгибных колебаний.

Предложенный метод дает возможность исследовать влияние различных факторов. На рис. 4 показаны относительные изменения частот для ряда турбинных и компрессорных лопаток под влиянием различных факторов. У турбинных лопаток отношение длины к хорде кольцевого сечения $\frac{l}{b}$ изменялось в

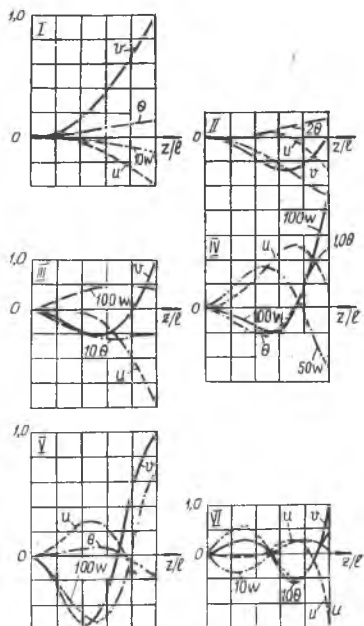


Рис. 2

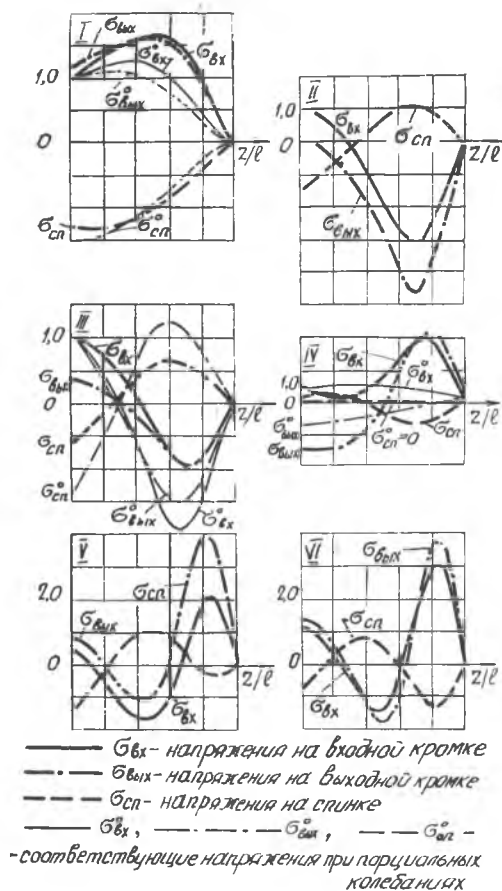


Рис. 3

за счет несовпадения центра масс и центра изгиба поперечного сечения. Для компрессорных лопаток может оказаться существенной деформационная связь изгиба и кручения, которую отражает член $\Theta' \tau_0 \Gamma^2$ в формулах (1). Продольные колебания могут вызвать понижение крутильных и частоизгибных колебаний закрученного стержня. Стесненность деформации поперечного сечения всегда повышает частоты колебаний, а сдвиг и податливость заделки понижают частоты.

На лопатки и воздушные винты действуют аэродинамические

пределах 2,32... 7,00, угол закрутки 2 (рад) — 0,148... 1,150, среднее значение квадратного корня из отношения максимального момента инерции к минимальному $\sqrt{\frac{I_{\max}}{I_{\min}}}$ — 2...

20. Те же параметры у компрессорных лопаток изменялись в пределах:

$\frac{l}{b}$ — 1,0... 2,6; α — 0,192...

0,454; $\sqrt{\frac{I_{\max}}{I_{\min}}}$ — 7... 26.

Колебания лопаток являются совместными изгибно крутильно-продольными, термины «крутильные» и «изгибные» указывают лишь на преобладание какого-либо из видов колебаний.

Результаты расчетов показывают, что для турбинных лопаток большую роль может играть инерционная связь изгибных и крутильных колебаний

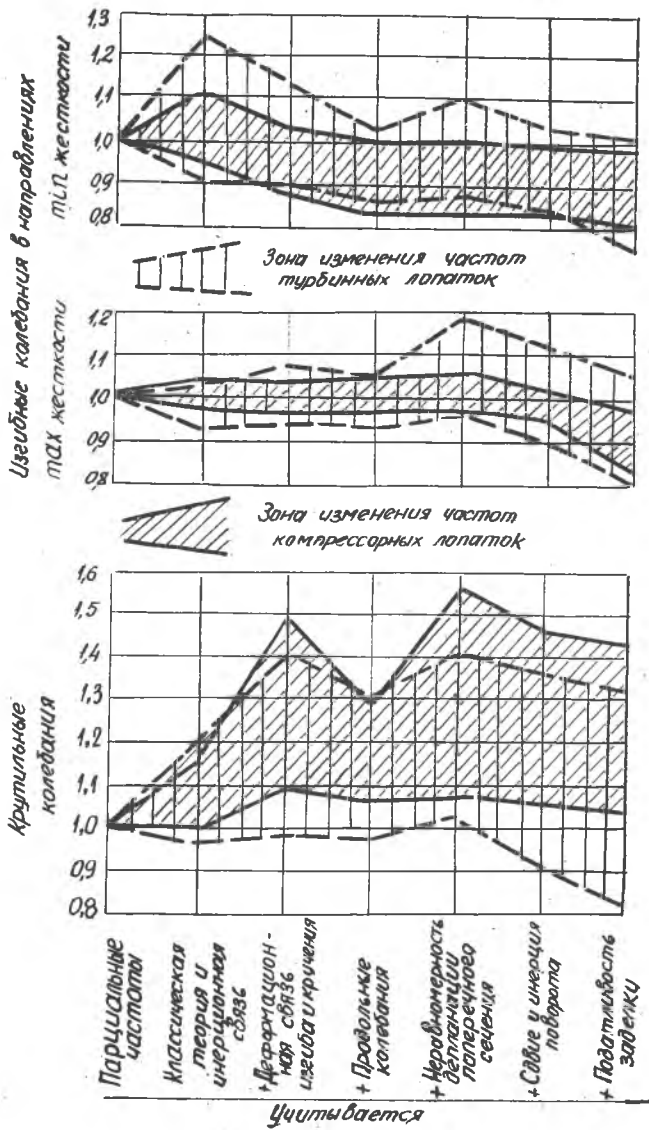


Рис. 4

кие силы со стороны газового потока, которые могут вызвать потерю динамической устойчивости и вынужденные колебания. В данном случае рассматривается только классический флаттер [3, 4] вращающихся воздушных винтов. Скорость потока V_{Π} и угол атаки β определялись с учетом осевой V_x и относительной окружной V_{Ω} скоростей потока. Задача в этом случае приводит к проблеме комплексных собственных чисел и векторов матрицы. Метод реализован для ЭЦВМ М-222. Расчеты показывают, что влияние кориолисовых сил и деформационная связь изгиба с кручением могут понижать критическую скорость флаттера [6].

ЛИТЕРАТУРА

1. Воробьев Ю. С. Уточненные уравнения свободных колебаний вращающихся стержней. В сб.: «Рабочие процессы в турбомашинах и прочность их элементов». Изд-во «Наукова думка», 1965.
2. Воробьев Ю. С. Колебания турбинных лопаток с учетом различных факторов. Применение ЭЦВМ в строительной механике. Изд-во «Наукова думка», 1968.
3. Риз П. М. Флаттер воздушных винтов. Труды ЦАГИ, 1939, вып. 391.
4. Филлипов А. П. Колебания механических систем. Изд-во «Наукова думка», 1965.
5. Филлипов А. П., Булгаков В. Н., Воробьев Ю. С., Кантор Б. Я., Марченко Г. А. Численные методы в прикладной теории упругости. Изд-во «Наукова думка», 1968.
6. Филлипов А. П., Кохманюк С. С., Воробьев Ю. С. Воздействие динамических нагрузок на элементы конструкций. Изд-во «Наукова думка», Киев, 1974.

А. А. ТРОЙНИКОВ, В. Н. ТРУБИН, Г. В. ЛАЗУТКИН К ВОПРОСУ ОБ УПРУГО-ДЕМПФИРУЮЩИХ СВОЙСТВАХ МАТЕРИАЛА МР

В статье делается попытка описать упруго-демпфирующие свойства материала МР, работающего на сжатие, в обобщенном виде и найти функциональные связи основных динамических характеристик изделий из МР (коэффициента динамичности и резонансной частоты) с исходными параметрами материала [2]. Полученные результаты могут послужить базой для создания методики проектировочного расчета простейших конструкций амортизаторов из материала МР.